

# Física Quântica I / Mecânica Quântica

Vítor M. Pereira

Departamento de Física | Universidade do Minho

2021/22 — 2º Sem

## Lição 23

### Separação em coordenadas esféricas: a equação radial.

#### A equação radial

- Propriedades das soluções da equação radial

Exemplo: poço de potencial esférico e infinito

#### Anexo

- Anexo – Funções de Bessel esféricas

# Recap: separação da ESIT para um potencial central

Como vimos, quando o potencial depende apenas da coordenada radial  $|r|$ ,

$$\left[ -\frac{\hbar^2}{2M} \nabla^2 + \mathcal{V}(r) \right] \varphi(\mathbf{r}) = E \varphi(\mathbf{r}), \quad \mathcal{V}(r) = \mathcal{V}(|\mathbf{r}|)$$

a solução é separável/fatorizável na forma

$$\varphi_{k,l,m}(r, \theta, \phi) = R_{k,l}(r) Y_l^m(\theta, \phi), \quad \varphi_{k,l,m}(r, \theta, \phi) \equiv \langle \mathbf{r} | k, l, m \rangle.$$

As funções  $R_{k,l}(r)$  e  $Y_l^m(\theta, \phi)$  são as soluções de

$$\text{equação angular:} \quad -\hbar^2 \left[ \frac{\partial^2}{\partial \theta^2} + \frac{1}{\tan \theta} \frac{\partial}{\partial \theta} + \frac{1}{\sin^2 \theta} \frac{\partial^2}{\partial \phi^2} \right] Y_l^m(\theta, \phi) = \hbar^2 l(l+1) Y_l^m(\theta, \phi)$$

$$\text{equação radial:} \quad \left[ -\frac{\hbar^2}{2Mr} \frac{\partial^2}{\partial r^2} r + \frac{l(l+1)\hbar^2}{2Mr^2} + \mathcal{V}(r) \right] R_{k,l}(r) = E_{k,l} R_{k,l}(r)$$

Aspectos universais importantes:

- $Y_l^m(\theta, \phi)$  são as funções próprias do momento angular *orbital*, pelo que  $l = 0, 1, 2, 3, \dots$
- Para um dado  $l$ , indexamos as soluções radiais com o chamado número quântico principal (número quântico radial) denotado  $k$  em geral, ou  $n$  quando se trata de estados ligados.
- Como  $m$  não aparece na eq. radial, as energias são independentes de  $m$ :

$$E = E_{k,l}, \quad (\text{implica uma degenerescência de, pelo menos, } 2l+1).$$

- Normalização das funções próprias de estados ligados, quando  $Y_l^m$  estão já normalizadas:

$$1 = \int d\mathbf{r} |\varphi_{k,l,m}(r, \theta, \phi)|^2 = \int_0^\infty r^2 dr [R_{k,l}(r)]^2 \int_0^\pi \sin \theta d\theta \int_0^{2\pi} d\phi |Y_l^m(\theta, \phi)|^2 = \int_0^\infty r^2 dr [R_{k,l}(r)]^2.$$

- A eq. radial pode reescrever-se como a eq. Schrödinger num **potencial efetivo em 1 dimensão**:

$$\text{definimos } u(r) \equiv r R(r) \quad \longrightarrow \quad \left[ -\frac{\hbar^2}{2M} \frac{d^2}{dr^2} + \frac{l(l+1)\hbar^2}{2Mr^2} + \mathcal{V}(r) \right] u_{k,l}(r) = E_{k,l} u_{k,l}(r).$$

- O potencial efetivo inclui  $V(r)$  e uma contribuição centrífuga repulsiva:

$$\text{definimos } \mathcal{V}_{\text{eff}}(r) \equiv \mathcal{V}(r) + \frac{l(l+1)\hbar^2}{2Mr^2}, \quad \left[ -\frac{\hbar^2}{2M} \frac{d^2}{dr^2} + \mathcal{V}_{\text{eff}}(r) \right] u_{k,l}(r) = E_{k,l} u_{k,l}(r).$$

- Condições fronteira para  $u(r)$  na origem para potenciais físicos de interesse:

$$\lim_{r \rightarrow 0} \mathcal{V}_{\text{eff}}(r) = \frac{l(l+1)\hbar^2}{2Mr^2} \quad (\text{termo centrífugo domina})$$

$$\text{para } r \approx 0: \quad \frac{\hbar^2}{2M} \left[ -\frac{d^2}{dr^2} + \frac{l(l+1)}{r^2} \right] u_{k,l}(r) \approx 0 \quad \Rightarrow \quad u_{k,l}(r) \approx A r^{l+1} + B r^{-l} \xrightarrow{0}$$

## Condição fronteira na origem

$$u_{k,l}(0) = 0 \quad \text{ou} \quad R_{k,l}(r \approx 0) \propto r^l, \quad [R_{k,l}(0) \text{ é finito se } l = 0, \text{ ou nulo se } l > 0]$$

- Normalização das funções próprias de estados propagantes (parte contínua do espectro):

$$\int_0^\infty r^2 dr [R_{k,l}(r)]^* R_{k',l}(r) = \int_0^\infty dr [u_{k,l}(r)]^* u_{k',l}(r) = \delta(k - k')$$

## Resumo dos passos para resolver a parte radial

- 1 Resolver a equação de Schrödinger efetiva

$$\left[ -\frac{\hbar^2}{2M} \frac{d^2}{dr^2} + \mathcal{V}_{\text{eff}}(r) \right] u_{k,l}(r) = E_{k,l} u_{k,l}(r), \quad \mathcal{V}_{\text{eff}}(r) \equiv \mathcal{V}(r) + \frac{l(l+1)\hbar^2}{2Mr^2}.$$

- 2 Obviamente, apenas faz sentido a solução para  $r \geq 0$ , que deve obedecer a

$$u_{k,l}(0) = 0.$$

- 3 Normalizar a solução encontrada, impondo

$$\text{est. ligados: } \int_0^\infty dr |u_{n,l}(r)|^2 = 1, \quad \text{propagantes: } \int_0^\infty dr [u_{k,l}(r)]^* u_{k',l}(r) = \delta(k - k').$$

- 4 As funções de onda completas serão o produto

$$\varphi_{k,l,m}(r, \theta, \phi) = \frac{u_{k,l}(r)}{r} Y_l^m(\theta, \phi) = R_{k,l}(r) Y_l^m(\theta, \phi).$$

## Exemplo – Poço de potencial esférico e infinito

Um potencial que confina uma partícula à região  $r \leq a$ : 
$$V(r) = \begin{cases} 0, & 0 \leq r < a \\ +\infty, & r > a \end{cases}$$

Na região  $0 \leq r \leq a$  temos  $V(r) = 0$ , logo a eq. radial fica

$$\left[ -\frac{\hbar^2}{2Mr} \frac{\partial^2}{\partial r^2} r + \frac{l(l+1)\hbar^2}{2Mr^2} \right] R_{k,l}(r) = E_{k,l} R_{k,l}(r)$$

$\downarrow$  (rearranjando)

$$r^2 R''(r) + 2r R'(r) + [k^2 r^2 - l(l+1)] R(r) = 0, \quad k \equiv \sqrt{\frac{2ME}{\hbar^2}}.$$

Trata-se da **equação de Bessel esférica**. A solução geral é (Anexo 1)

[▶ ver anexo](#)

$$R(r) = A j_l(kr) + B n_l(kr), \quad (0 \leq r \leq a),$$

e deve satisfazer as duas condições fronteira seguintes:

$$r R(r) \xrightarrow{r \rightarrow 0} 0 \quad \text{e} \quad R(a) = 0 \quad [\text{pq. } V(r) \text{ é infinito para } r > a].$$

A 1a condição impõe  $B = 0$  na solução para a região  $0 \leq r \leq a$ :

$$R(r) = A j_l(kr).$$

A 2a condição gera uma **equação transcendente** que determina os  $k$  e  $l$  permitidos:

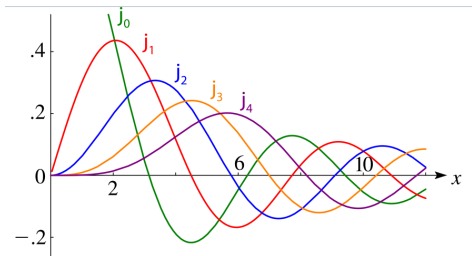
$$j_l(ka) = 0 \quad \longrightarrow \quad E_{n,l} = \frac{\hbar^2}{2Ma^2} \zeta_{n,l}^2, \quad \zeta_{n,l} \equiv n\text{-ésimo zero da função } j_l(\zeta).$$

# Exemplo – Poço de potencial esférico e infinito

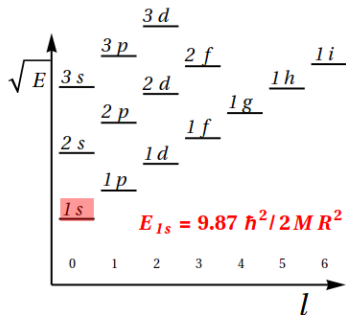
Energia dos estados ligados neste potencial:

$$E_{n,l} = \frac{\hbar^2}{2Ma^2} \zeta_{n,l}^2,$$

$\zeta_{n,l} \equiv n$ -ésimo zero de  $j_l(\xi)$



O espectro de energia depende de 2 números quânticos:  $n$  e  $l$ :



- A equação radial pode ser reescrita como uma ESIT em uma dimensão:

$$\left[ -\frac{\hbar^2}{2M} \frac{d^2}{dr^2} + \frac{l(l+1)\hbar^2}{2Mr^2} + \mathcal{V}(r) \right] u_{k,l}(r) = E_{k,l} u_{k,l}(r), \quad u(r) \equiv r R(r).$$

- Nesta forma, é útil definir o potencial efetivo

$$\mathcal{V}_{\text{eff}}(r) \equiv \mathcal{V}(r) + \frac{l(l+1)\hbar^2}{2Mr^2}, \quad \left[ -\frac{\hbar^2}{2M} \frac{d^2}{dr^2} + \mathcal{V}_{\text{eff}}(r) \right] u_{k,l}(r) = E_{k,l} u_{k,l}(r).$$

- Na origem, a condição fronteira é

$$u(0) = 0.$$

- Em qualquer outro  $r$ , p.ex. em  $r = a$ , a solução  $u(r)$  e sua derivada têm de ser contínuas:

$$u(a^+) = u(a^-), \quad u'(a^+) = u'(a^-), \quad [\text{exceto se existir um potencial } \delta(r-a)]$$

- Em regiões onde  $V(r) = \text{constante}$  (e só neste caso) a eq. radial fica

$$r^2 R''(r) + 2r R'(r) + \left[ \frac{2M}{\hbar^2} (E - V) r^2 - l(l+1) \right] R(r) = 0,$$

cujas soluções gerais são **funções de Bessel** ou **funções modificadas de Bessel**:

$$E > V : \quad R_{k,l}(r) = A j_l(kr) + B n_l(kr), \quad k \equiv \sqrt{\frac{2M(E-V)}{\hbar^2}}.$$

$$E < V : \quad R_{\lambda,l}(r) = F i_l(\lambda r) + G \kappa_l(\lambda r), \quad \lambda \equiv \sqrt{\frac{2M(V-E)}{\hbar^2}}.$$



– Anexo –

Pertinentes quando um potencial com simetria esférica é **constante** numa camada radial:

[◀ voltar](#)

$$V(r) = V_0, \quad \text{constante numa região } r_1 \leq r \leq r_2.$$

Caso I: quando  $E > V_0$  (soluções propagantes; eq. Bessel esférica)

$$r^2 R''(r) + 2r R'(r) + [k^2 r^2 - l(l+1)]R(r) = 0, \quad k \equiv \sqrt{\frac{2M(E - V_0)}{\hbar^2}} \quad (E > V_0).$$

A solução **geral** é

$$R_{k,l}(r) = A j_l(kr) + B n_l(kr).$$

$j_l(kr)$ : **função de Bessel esférica regular** (EN: spherical Bessel function of the 1st kind).

$n_l(kr)$ : **função de Bessel esférica irregular** (EN: spherical Bessel function of the 2nd kind).

Caso II: quando  $E < V_0$  (soluções confinadas; eq. modificada de Bessel esférica)

$$r^2 R''(r) + 2r R'(r) - [\lambda^2 r^2 + l(l+1)]R(r) = 0, \quad \lambda \equiv \sqrt{\frac{2M(V_0 - E)}{\hbar^2}} \quad (E < V_0).$$

A solução **geral** é

$$R_{\lambda,l}(r) = A' i_l(\lambda r) + B' \kappa_l(\lambda r).$$

$i_l(\lambda r)$ : **função modificada de Bessel esférica regular** (EN: modified spherical Bessel of the 1st kind).

$\kappa_l(\lambda r)$ : **função modificada de Bessel esférica irregular** (EN: modified spherical Bessel of the 2nd kind).

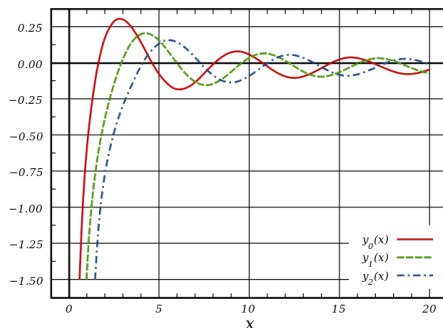
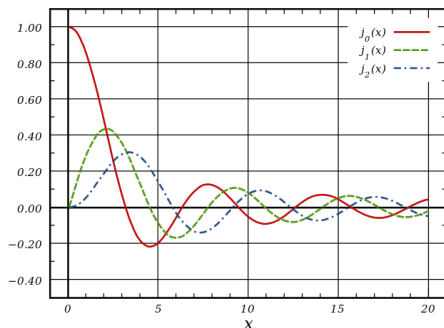
Funções de Bessel esféricas (EN: spherical Bessel functions of 1st and 2nd kind)

$$j_l(\rho) \equiv \sqrt{\frac{\pi}{2\rho}} J_{l+\frac{1}{2}}(\rho) = (-\rho)^l \left( \frac{1}{\rho} \frac{d}{d\rho} \right)^l \frac{\sin \rho}{\rho},$$

$$\text{Limits: } j_l(\rho) \approx \begin{cases} \frac{2^l l!}{(2l+1)!} \rho^l, & \rho \ll 1 \\ \frac{1}{\rho} \sin\left(\rho - \frac{l\pi}{2}\right), & \rho \gg 1 \end{cases}$$

$$n_l(\rho) \equiv \sqrt{\frac{\pi}{2\rho}} Y_{l+\frac{1}{2}}(\rho) = (-\rho)^{l+1} \left( \frac{1}{\rho} \frac{d}{d\rho} \right)^l \frac{\cos \rho}{\rho},$$

$$\text{Limits: } n_l(\rho) \approx \begin{cases} -\frac{(2l)!}{2^l l!} \rho^{-l-1}, & \rho \ll 1 \\ -\frac{1}{\rho} \cos\left(\rho - \frac{l\pi}{2}\right), & \rho \gg 1 \end{cases}$$

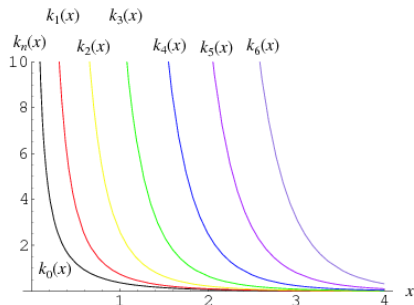
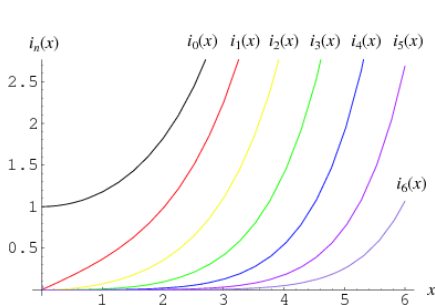


Referência: “DLMF: NIST Digital Library of Mathematical Functions” <http://dlmf.nist.gov/>

Funções modificadas de Bessel esféricas (EN: modified spherical Bessel functions of the 1st and 2nd kind)

$$i_l(\rho) \equiv \sqrt{\frac{\pi}{2\rho}} I_{l+\frac{1}{2}}(\rho) = \rho^l \left( \frac{1}{\rho} \frac{d}{d\rho} \right)^l \frac{\sinh \rho}{\rho}, \quad \text{Limits: } i_l(\rho) \approx \begin{cases} \frac{2^l l!}{(2l+1)!} \rho^l, & \rho \ll 1 \\ \frac{1}{2\rho} e^\rho, & \rho \gg 1 \end{cases}$$

$$\kappa_l(\rho) \equiv \sqrt{\frac{2}{\pi\rho}} K_{l+\frac{1}{2}}(\rho) = (-\rho)^l \left( \frac{1}{\rho} \frac{d}{d\rho} \right)^l \frac{e^{-\rho}}{\rho}, \quad \text{Limits: } \kappa_l(\rho) \approx \begin{cases} \frac{(2l)!}{2^l l!} \rho^{-l-1}, & \rho \ll 1 \\ \frac{1}{\rho} e^{-\rho}, & \rho \gg 1 \end{cases}$$



Referência: “DLMF: NIST Digital Library of Mathematical Functions” <http://dlmf.nist.gov/>